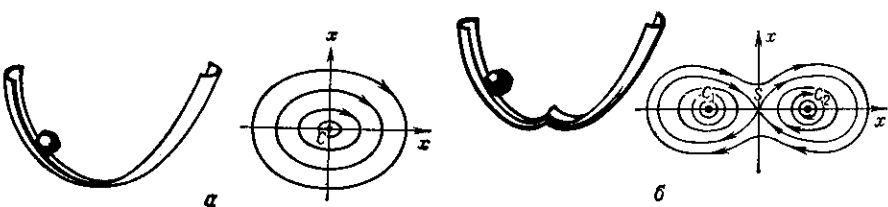


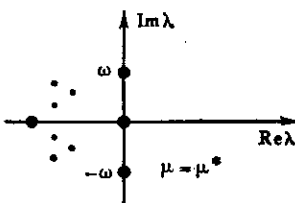
весия — седло  $S$  и центры  $C_1$  и  $C_2$  (рис. 5, б). При этом возможно существование устойчивых несимметрических движений в полностью симметрической системе.

За локальными Б. можно проследить, наблюдая развитие малых возмущений в системе, которые описываются линеаризованными уравнениями. В динамич. системе

Рис. 5. Рождение из одного состояния равновесия трех при малом изменении параметра (формы яблока): а — форма яблока и соответствующий фазовый портрет с одним состоянием равновесия типа центр; б — форма яблока с двумя минимумами и соответствующий фазовый портрет с тремя состояниями равновесия: седло  $S$  и два центра  $C_1$  и  $C_2$ .



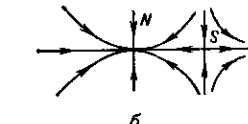
$\dot{x} = X(x, \mu)$  [ $x$  — вектор физ. переменных,  $\mu$  — параметр, а  $x(\mu)$  — состояние равновесия] малые возмущения  $\xi$  описываются уравнением  $\dot{\xi} = A(\mu)\xi$ , где  $A(\mu) = \frac{dX(x_0(\mu), \mu)}{dx}$ . Если корни  $\lambda_n$  характеристич. уравнения  $\det [A(\mu) - \lambda E] = 0$  (где  $E$  — единичная матрица)



не лежат на мнимой оси комплексной плоскости (рис. 6), то в окрестности состояния равновесия при малых сдвигах параметров Б. не происходит. Она осуществляется, лишь когда при  $\mu$ , равном критич. значению  $\mu^*$ , один или неск. корней попадает на мнимую ось комплексной плоскости. Всем Б. исчезновения или рождения состояний равновесия соответствует прохождение одного или неск. корней через ноль. Одна из подобных возможностей представлена на рис. 7, где изображено рождение состояний равновесия типа седла  $S$  и узла  $N$ .

Такая Б. встречается, напр., в задаче о конкуренции состояний равновесия соответствует прохождение одного или неск. корней через ноль. Одна из подобных возможностей представлена на рис. 7, где изображено рождение состояний равновесия типа седла  $S$  и узла  $N$ . Такая Б. встречается, напр., в задаче о конкуренции

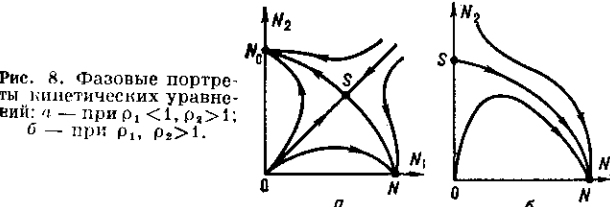
Рис. 7. Рождение двух состояний равновесия — седла  $S$  и узла  $N$ : а — фазовый портрет до бифуркации; б — фазовый портрет после бифуркации.



видов с численностями  $x_1$ ,  $x_2$ , питающимися из одного источника (рис. 8). Соответствующие кинетич. уравнения, описывающие изменения численностей, — это:

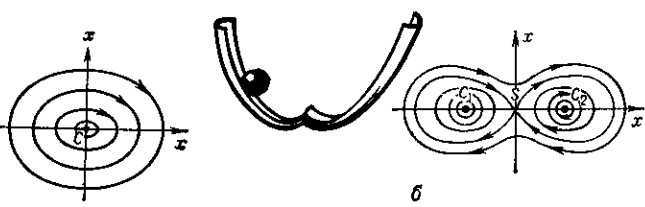
$$\dot{x}_1, 2 = [1 - (x_{2,1} + \rho_{1,2} x_{1,2})].$$

При  $\rho_1, \rho_2 > 1$  в системе возможна «победа» в борьбе за существование любого из видов. При уменьшении же одного из параметров  $\rho_1, \rho_2$  до значения, меньшего 1, при произвольных нач. условиях будет выживать лишь вполне определ. вид (рис. 8, б). Аналогич. уравнениями описывается конкуренция типов колебаний (мод) в лазерах, структур разных типов, возникающих в жидкости при тепловой конвекции, и т. д.



Когда два корня характеристич. уравнения становятся чисто мнимыми, тогда из состояния равновесия рождается или в нем умирает предельный цикл (табл. 1, строка 4). Это означает, что для всех значений параметра  $\mu$ ,

меньших (больших) критического  $\mu^*$  и достаточно близких к нему, существует периодич. решение, к-рое при  $\mu \rightarrow \mu^*$  стремится к статическому  $x_0(\mu)$ . Устойчивость предельного цикла определяется устойчивостью состояния равновесия при  $\mu = \mu^*$ . Этую Б. наз. Б. А и дронова — Хонфа.



Бифуркации рождения периодич. движений. В табл. 1 приведены основные Б. рождания (если фазовые портреты просматривать слева направо) или исчезновения (если справа налево) периодич. движений. Они разбиты на 3 группы. Если говорить об исчезновении периодич. движений, то к 1-й группе (первые 2 строки) относятся такие Б., при к-рых период периодич. движения  $T \rightarrow \infty$  (или частота  $\omega \rightarrow 0$ ) при  $\mu - \mu^* \rightarrow 0$ , а амплитуда колебаний около ср. значения к нулю не стремится. В автоколебат. системах примером такой Б. является возникновение модуляции при действии периодич. силы на автогенератор. Предельный цикл — образ модулиру. колебаний — при этом рождается из петли сепаратрисы седла — узел при слиянии и исчезновении двух состояний равновесия: седла и узла (табл. 1, строка 1). Знание подобной Б. позволяет определить свойства нового режима, возникшего после перехода через критич. точку, — возникшая модуляция будет характеризоваться конечной амплитудой и близкой к нулю частотой модуляции.

Ко 2-й группе относятся Б. исчезновения устойчивого периодаич. движения в момент его слияния с неустойчивым периодаич. движением (табл. 1, строка 3) — т. п. касательная Б. Такая Б. для автогенератора с жестким возбуждением изображена на рис. 9 с помощью графика отображения Пуанкаре (см. Динамическая система). Рис. 9, а соответствует состоянию системы, в к-ром устойчивые колебания отсутствуют — предельных циклов нет. Рис. 9, б, соответствует моменту Б.: график функциональной зависимости  $x_{n+1}$  от  $x_n$  касается биссектрисы первого квадранта — происходит рождение двух периодаич. движений — устойчивого 1 и неустойчивого 2 (рис. 9, в).

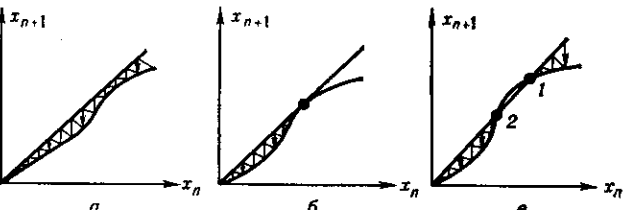


Рис. 9. График отображения Пуанкаре секущей  $x=0$  для автогенератора с жестким возбуждением: а — устойчивые колебания отсутствуют — предельных циклов нет; б — момент бифуркации — график функции касается биссектрисы; в — устойчивое 1 и неустойчивое 2 движения.

Б. 3-й группы встречаются, как правило, в системах, зависящих от двух и более параметров (табл. 1, строка 5).

Бифуркации смены устойчивости периодич. движений. Важной характеристикой Б. смены устойчивости периодич. движений (табл. 2) являются значения мультипликаторов в критич. момент, к-рые представляют собой коэф. усиления (затухания) малых возмущений на фоне рассматриваемых